



中国科学技术大学  
University of Science and Technology of China

信息科学技术学院  
School of Information Science and Technology

# 信号与系统 – 第十五周

## 拉普拉斯变换和 $Z$ 变换 (续)

赵 峰, 电四楼421  
fzhao956@ustc.edu.cn  
2022/5/30

## 8.4.4 时域微分和差分与积分和累加性质、复频域微分性质

与傅立叶变换一样，拉普拉斯变换和 Z 变换也有连续时域微分与积分性质和离散时域差分与累加性质，以及复频域微分性质。

### ■ 时域微分和差分性质

拉普拉斯变换时域微分和 Z 变换的时域差分性质为：

若有 **L**  $\{f(t)\} = \{F(s), R_F\}$  和 **Z**  $\{f[n]\} = \{F(z), R_F\}$

则有 
$$\frac{d}{dt} f(t) \xleftrightarrow{\text{L}} \{sF(s), \text{ROC} \supset [R_F \cap (|s| < \infty)]\}$$

和 
$$\Delta f[n] \xleftrightarrow{\text{Z}} \{(1 - z^{-1})F(z), \text{ROC} \supset [R_F \cap (|z| > 0)]\}$$

**ROC 的解释：** 由于像函数的相乘因子  $s$  和  $(1 - z^{-1})$  分别在  $s = 0$  和  $z = 1$  增加新的一阶零点，并在  $s \rightarrow \infty$  和  $z = 0$  分别增加新的一阶极点，也可能出现零、极点抵消情况。

进一步，还可以推导出时域高阶微分和高阶差分性质：

$$\frac{d^k}{dt^k} f(t) \xleftrightarrow{\text{L}} \{s^k F(s), \text{ROC} \supset [R_F \cap (|s| < \infty)]\}$$

## 8.4.4 时域微分和差分与积分和累加性质、复频域微分性质(续)

和  $\Delta^k f[n] \xleftrightarrow{\mathbf{Z}} \{(1-z^{-1})^k F(z), \text{ROC} \supset [R_F \cap (|z| > 0)]\}$

**表明:** 在时域上时间函数或序列每微分或差分一次, 变换到复频域上, 其像函数就乘一次  $s$  或  $(1-z^{-1})$ , ROC 变为至少包含  $R_F$  与有限  $S$  平面或有限  $Z$  平面之交集。

**讨论:** ♣  $\delta(t)$  和  $\delta[n]$  的高阶导数和高阶差分的拉普拉斯变换和  $Z$  变换, 由上述时域微分和差分性质, 可直接得到:

$$\delta^{(k)}(t) \xleftrightarrow{\mathbf{L}} \{s^k, |s| < \infty\} \text{ 和 } \Delta^k \delta[n] \xleftrightarrow{\mathbf{Z}} \{(1-z^{-1})^k, |z| > 0\}$$

♣ 基于  $\delta^{(k)}(t)$  和  $\Delta^k \delta[n]$  的拉普拉斯变换和  $Z$  变换, 上述时域微分和差分性质可以看成时域卷积性质的又一个特例。

♣ 与傅里叶变换的时域微分和差分性质一样, 本性质也有助于求取一些函数和序列的拉普拉斯变换和  $Z$  变换。例如:

由  $[e^{-at}u(t)]' = \delta(t) - ae^{-at}u(t)$  和  $\Delta\{a^n u[n]\} = \delta[n] + (a-1)a^{n-1}u[n-1]$  可分别求得  $e^{-at}u(t)$  和  $a^n u[n]$  的拉普拉斯变换和  $Z$  变换。

## 8.4.4 时域微分和差分与积分和累加性质、复频域微分性质(续)

### ■ 时域积分和累加性质

拉普拉斯变换时域积分和 Z 变换的时域累加性质为:

若有 **L**  $\{f(t)\} = \{F(s), R_F\}$  和 **Z**  $\{f[n]\} = \{F(z), R_F\}$

则有  $\int_{-\infty}^t f(\tau) d\tau \xleftrightarrow{\text{L}} \left\{ \frac{F(s)}{s}, \text{ROC} \supset [R_F \cap (\text{Re}\{s\} > 0)] \right\}$

和  $\sum_{m=-\infty}^n f[m] \xleftrightarrow{\text{Z}} \left\{ \frac{F(z)}{1-z^{-1}}, \text{ROC} \supset [R_F \cap (|z| > 1)] \right\}$

**ROC 解释:** 像函数分别除以  $s$  和  $(1-z^{-1})$ , 分别在  $s \rightarrow \infty$  和  $z=0$  增加新的一阶零点, 在  $s=0$  和  $z=1$  增加新的一阶极点, 并可能出现零、极点抵消情况。

**表明:** 在时域上时间函数或序列每积分或累加一次, 变换到复频域, 其像函数就除以一次  $s$  或  $(1-z^{-1})$ , ROC 变为至少包含  $R_F$  与虚轴右侧半个 S 平面或 Z 平面之单位圆外部的交集。

## 8.4.4 时域微分和差分与积分和累加性质、复频域微分性质(续)

**讨论:** ♣  $1/s$  和  $1/(1-z^{-1})$  分别是  $u(t)$  和  $u[n]$  的拉普拉斯变换和 Z 变换, 故上述时域积分和累加性质可以看成时域卷积性质的又一个特例。

- ♣ 进一步, 还可以获得时域多次积分和多次累加性质, 这留给同学自行写出。
- ♣ 基于  $\delta(t)$  和  $\delta[n]$  的拉普拉斯变换和 Z 变换, 利用时域积分和累加性质, 可得到如下的**单边幂函数**和**单边组合序列**的拉普拉斯变换和 Z 变换:

$$\text{L} \quad \{tu(t)\} = \left\{ \frac{1}{s^2}, \quad \text{Re}\{s\} > 0 \right\} \text{ 和 } \text{Z} \quad \{(n+1)u[n]\} = \left\{ \frac{1}{(1-z^{-1})^2}, \quad |z| > 1 \right\}$$

$$\text{以及} \quad \frac{t^{k-1}}{(k-1)!} u(t) \xleftrightarrow{\text{L}} \left\{ \frac{1}{s^k}, \quad \text{Re}\{s\} > 0 \right\}$$

$$\text{和} \quad \frac{(n+k-1)!}{n!(k-1)!} u[n] \xleftrightarrow{\text{Z}} \left\{ \frac{1}{(1-z^{-1})^k}, \quad |z| > 1 \right\}$$

## 8.4.4 时域微分和差分与积分和累加性质、复频域微分性质(续)

### ■ 复频域 ( $s$ 域和 $z$ 域) 微分性质

拉普拉斯变换  $s$  域微分和  $Z$  变换的  $z$  域微分性质分别为:

若有 **L**  $\{f(t)\} = \{F(s), R_F\}$  和 **Z**  $\{f[n]\} = \{F(z), R_F\}$

则分别有  $-t \cdot f(t) \xleftrightarrow{\text{L}} \left\{ \frac{dF(s)}{ds}, \text{ROC} = R_F \right\}$

和  $-n \cdot f[n] \xleftrightarrow{\text{Z}} \left\{ z \frac{dF(z)}{dz} \text{ 或 } -z^{-1} \frac{dF(z)}{d(z^{-1})}, \text{ROC} = R_F \right\}$

**表明:** 复频域上像函数的微分(不改变其收敛域)导致原函数和原序列分别乘以  $(-t)$  和  $(-n)$ 。

进一步, 还可以推导出复频域的高阶微分性质, 即

$$(-t)^k f(t) \xleftrightarrow{\text{L}} \left\{ \frac{d^k F(s)}{d^k s}, \text{ROC} = R_F \right\}$$

和

$$(-n)^k f[n] \xleftrightarrow{\text{Z}} \left\{ \left( z \frac{d}{dz} \right)^k F(z), \text{ROC} = R_F \right\}$$



## 8.4.4 ... 复频域微分性质(续)

其中，
$$\left(z \frac{d}{dz}\right)^k F(z) = z \frac{d}{dz} \left\{ z \frac{d}{dz} \left[ z \frac{d}{dz} \cdots \left( z \frac{d}{dz} F(z) \right) \right] \right\}$$

利用  $s$  域和  $z$  域的微分性质，可以求得一些很有用的拉普拉斯变换对和  $Z$  变换对。请看下面的例子。

**【例 8.18】** 求如下像函数及其收敛域的反拉普拉斯和反  $Z$  变换

$$F(s) = \frac{1}{(s+a)^2}, \quad \text{Re}\{s\} > \text{Re}\{-a\} \quad \text{和} \quad F(z) = \frac{1}{(1-az^{-1})^2}, \quad |z| > |a|$$

**解：**按照微分公式  $(1/x)' = (-1/x^2)$ ，则有

$$\frac{d}{ds} \left( \frac{1}{s+a} \right) = \frac{-1}{(s+a)^2} \quad \text{和} \quad z \frac{d}{dz} \left( \frac{1}{1-az^{-1}} \right) = \frac{-az^{-1}}{(1-az^{-1})^2}$$

基于  $e^{-at}u(t)$  和  $a^n u[n]$  的变换对，利用复频域的微分性质，则有

$$\mathbf{L}^{-1} \left\{ \frac{1}{(s+a)^2}, \quad \text{Re}\{s\} > \text{Re}\{-a\} \right\} = te^{-at}u(t)$$

和 
$$\mathbf{Z}^{-1} \left\{ \frac{-az^{-1}}{(1-az^{-1})^2}, \quad |z| > |a| \right\} = -na^n u[n]$$

## 8.4.4 ... 复频域微分性质(续)

上式再用 Z 变换的时移性质, 且当  $n = -1$  时  $n+1=0, u[n+1] \rightarrow u[n]$ ,

则进一步有  $\mathbf{Z}^{-1} \left\{ \frac{1}{(1-az^{-1})^2}, |z| > |a| \right\} = (n+1)a^n u[n]$

**本例题的引伸:**

♣ 若将本例的像函数微分多次, 则分别得到如下变换对:

$$\frac{t^{k-1}}{(k-1)!} e^{-at} u(t) \xleftrightarrow{\mathbf{L}} \left\{ \frac{1}{(s+a)^k}, \operatorname{Re}\{s\} > \operatorname{Re}\{-a\} \right\}$$

和

$$\frac{(n+k-1)!}{n!(k-1)!} a^n u[n] \xleftrightarrow{\mathbf{Z}} \left\{ \frac{1}{(1-az^{-1})^k}, |z| > |a| \right\}$$

♣ 同理, 基于例 8.3 中的反因果指数函数和序列的变换对, 又  
可得到:

$$-\frac{t^{k-1}}{(k-1)!} e^{-at} u(-t) \xleftrightarrow{\mathbf{L}} \left\{ \frac{1}{(s+a)^k}, \operatorname{Re}\{s\} < \operatorname{Re}\{-a\} \right\}$$

和

$$-\frac{(n+k-1)!}{n!(k-1)!} a^n u[-n-1] \xleftrightarrow{\mathbf{Z}} \left\{ \frac{1}{(1-az^{-1})^k}, |z| < |a| \right\}$$



## 8.4.4 ... 复频域微分性质(续)

上述变换对在下一章系统的复频域分析方法时十分有用。

**讨论：**有理像函数微分不会增加新的极点，只改变原有极点的阶数。像函数每微分一次，使其所有极点都增加一阶。

复频域微分性质也有助于求非有理像函数的反变换。

**【例 8.19】**求如下像函数及其收敛域的反拉普拉斯和反 Z 变换

$$F(s) = \ln \frac{s+a}{s}, \quad \operatorname{Re}\{s\} > 0, \quad a > 0 \quad \text{和} \quad F(z) = \ln(1+az^{-1}), \quad |z| > |a|$$

**解：**按照微分公式  $(\ln x)' = 1/x$ ，则分别有

$$\frac{dF(s)}{ds} = \frac{d}{ds} [\ln(s+a) - \ln s] = \frac{1}{s+a} - \frac{1}{s}, \quad \operatorname{Re}\{s\} > 0$$

和 
$$\frac{dF(z)}{dz} = \frac{d}{dz} [\ln(1+az^{-1})] = \frac{-az^{-2}}{1+az^{-1}}, \quad |z| > |a|$$

利用已熟悉的变换对和复频域的微分性质，可得到反变换如下：

$$f(t) = \frac{1-e^{-at}}{t} u(t) \quad \text{和} \quad f[n] = -\frac{(-a)^n}{n} u[n-1]$$

## 8.4.5 对称性质

拉普拉斯变换和 Z 变换的对称性质将揭示时域与复频域的对称分布特性之间的关系，其中，复频域的对称分布特性指的是 S 平面或 Z 平面上零、极点分布和收敛域的对称分布特征。

### ■ 拉普拉斯变换和 Z 变换的对称性质

拉普拉斯变换和 Z 变换的对称性质数学描述如下：

若分别有  $\mathbf{L} \{f(t)\} = \{F(s), R_F = (\sigma_1 < \text{Re}\{s\} < \sigma_2)\}$

和  $\mathbf{Z} \{f[n]\} = \{F(z), R_F = (r_1 < |z| < r_2)\}$

则有  $f(-t) \xleftrightarrow{\mathbf{L}} \{F(-s), -R_F = (-\sigma_2 < \text{Re}\{s\} < -\sigma_1)\}$

$f^*(t) \xleftrightarrow{\mathbf{L}} \{F^*(s^*), R_F = (\sigma_1 < \text{Re}\{s\} < \sigma_2)\}$

$f^*(-t) \xleftrightarrow{\mathbf{L}} \{F^*(-s^*), -R_F = (-\sigma_2 < \text{Re}\{s\} < -\sigma_1)\}$

和  $f[-n] \xleftrightarrow{\mathbf{Z}} \{F(1/z), 1/R_F = (r_2^{-1} < |z| < r_1^{-1})\}$

$f^*[n] \xleftrightarrow{\mathbf{Z}} \{F^*(z^*), R_F = (r_1 < |z| < r_2)\}$

$f^*[-n] \xleftrightarrow{\mathbf{Z}} \{F^*(1/z^*), 1/R_F = (r_2^{-1} < |z| < r_1^{-1})\}$

## 8.4.5 对称性质(续)

**表明:** (1)  $f(t)$  在时域上反转导致  $F(s)$  的零、极点分布和收敛域在  $S$  平面上以原点为中心旋转  $180^\circ$ :  $F(s)$  的零、极点  $z_i$  和  $p_i$  变成  $F(-s)$  的零、极点  $-z_i$  和  $-p_i$ ; 收敛域以  $\sigma_1$  和  $\sigma_2$  为左右边界变成以  $-\sigma_2$  和  $-\sigma_1$  为左右边界。

然而,  $f[n]$  时域反转却导致  $F(z)$  的零、极点分布和收敛域既按单位圆内外翻转, 又以实轴上下反转:  $F(z)$  的零、极点  $z_i$  和  $p_i$  变成  $F(1/z)$  的零、极点  $1/z_i$  和  $1/p_i$ ; 收敛圆环以  $r_1$  和  $r_2$  为内外半径变成以  $1/r_2$  和  $1/r_1$  为内外半径。

(2)  $f(t)$  和  $f[n]$  时域共轭导致  $F(s)$  和  $F(z)$  的零、极点分布和收敛域以实轴上下反转:  $F(s)$  和  $F(z)$  的零、极点  $z_i$  和  $p_i$  变成  $F^*(s^*)$  和  $F^*(z^*)$  的零、极点  $z_i^*$  和  $p_i^*$ ; 收敛域不变。

(3)  $f(t)$  和  $f[n]$  时域既共轭又反转, 导致其像函数的零、极点分布和收敛域分别在  $S$  平面和  $Z$  平面兼有上述两种变换。

下面通过具体的例子, 来说明和弄清这 3 种像函数的零、极点分布和收敛域的变换情况。

## 8.4.5 对称性质(续)

如果某个  $f(t)$  和  $f[n]$  的像函数  $F(s)$  和  $F(z)$  及其收敛域为

$$F(s) = F_0 \frac{(s - z_1)(s - z_2)}{(s - p_1)(s - p_2)}$$

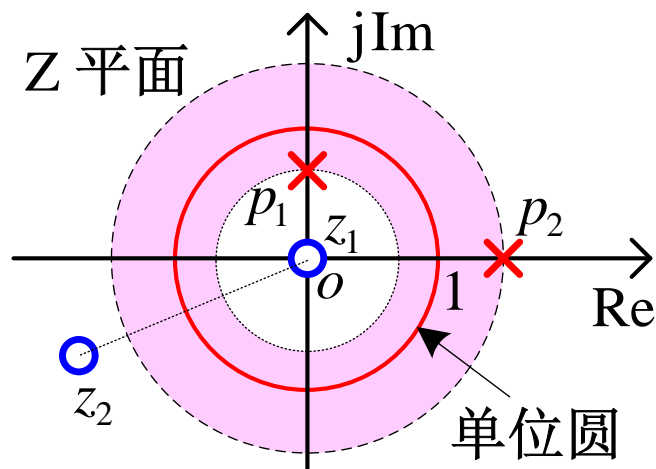
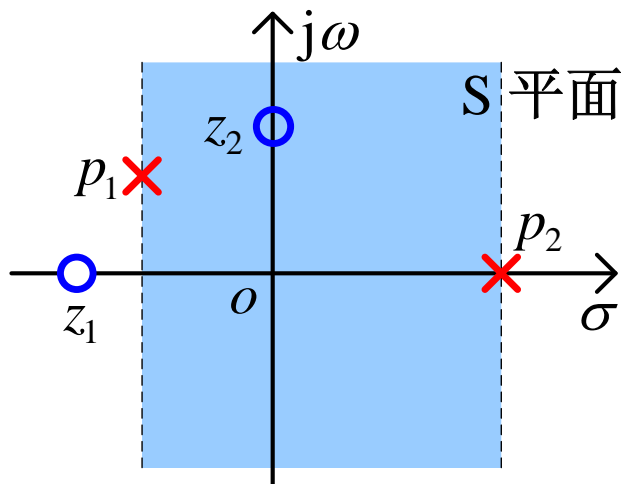
和

$$F(z) = F_0 \frac{(1 - z_1 z^{-1})(1 - z_2 z^{-1})}{(1 - p_1 z^{-1})(1 - p_2 z^{-1})}$$

$$\text{Re}\{p_1\} < \text{Re}\{s\} < \text{Re}\{p_2\}$$

$$|p_1| < |z| < |p_2|$$

它们的零、极分布和收敛域如下图所示。



则  $F(-s) = F_0 \frac{(s + z_1)(s + z_2)}{(s + p_1)(s + p_2)}$

和

$$F(1/z) = F_0 \frac{(1 - z_1 z)(1 - z_2 z)}{(1 - p_1 z)(1 - p_2 z)}$$

$$F^*(s^*) = F_0^* \frac{(s - z_1^*)(s - z_2^*)}{(s - p_1^*)(s - p_2^*)}$$

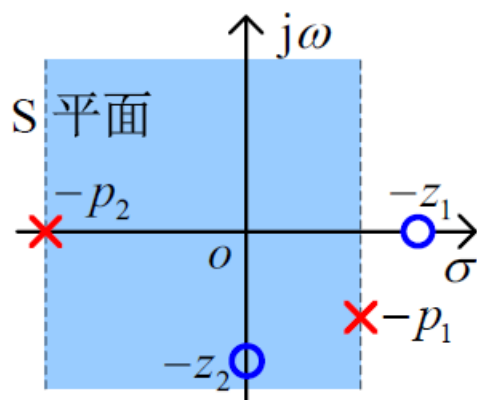
和

$$F^*(z^*) = F_0^* \frac{(1 - z_1^*/z)(1 - z_2^*/z)}{(1 - p_1^*/z)(1 - p_2^*/z)}$$

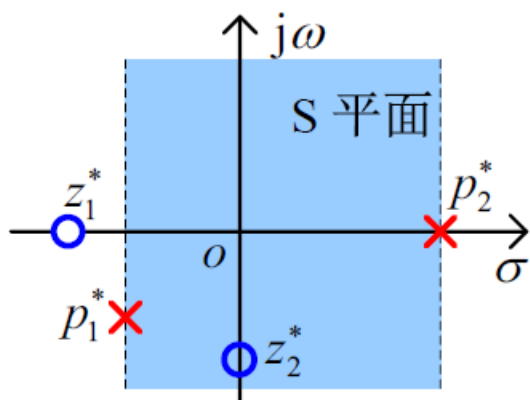
## 8.4.5 对称性质(续)

$$F^*(-s^*) = F_0^* \frac{(s + z_1^*)(s + z_2^*)}{(s + p_1^*)(s + p_2^*)} \quad \text{和} \quad F^*\left(\frac{1}{z^*}\right) = F_0^* \frac{(1 - z_1^*z)(1 - z_2^*z)}{(1 - p_1^*z)(1 - p_2^*z)}$$

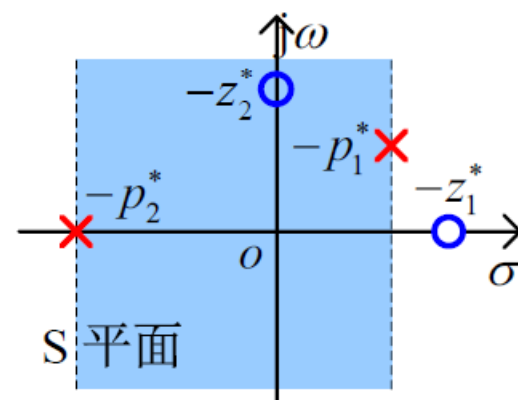
它们的零、极分布和收敛域分别如下图所示。



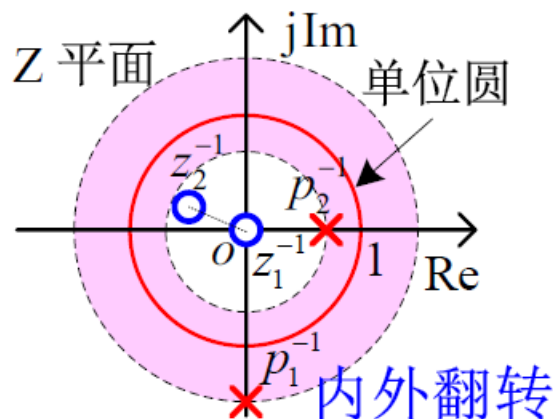
$F(-s)$  转  $180^\circ$



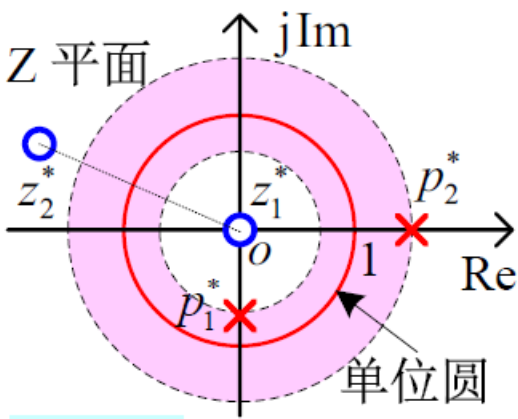
$F^*(s^*)$  按实轴反转



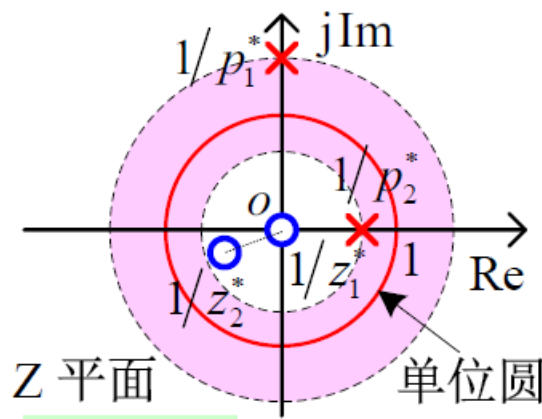
$F^*(-s^*)$  按虚轴反转



$F(1/z)$  按实轴反转



$F^*(z^*)$  按实轴反转



$F^*(1/z^*)$  内外翻转

## 8.4.5 对称性质(续)

上述变换对在下一章系统的复频域分析方法时十分有用。

**【例 8.20】** 试求如下复奇函数和序列的拉普拉斯变换和 Z 变换

$$x(t) = e^{-a|t|} \operatorname{sgn}(t), \operatorname{Re}\{a\} > 0 \quad \text{和} \quad x[n] = a^{|n|} \operatorname{sgn}[n], 0 < |a| < 1$$

**解：** 它们可以分别写成

$$x(t) = e^{-at} u(t) - e^{at} u(-t) \quad \text{和} \quad x[n] = a^n u[n] - a^{-n} u[-n]$$

且有

$$-a^{-n} u[-n] = a^{-1} (-a^{-n} u[-n-1]) * \delta[n-1]$$

直接利用例 8.1 和例 8.3 中得到的变换对和 Z 变换的时移性质，可以求得  $x(t)$  和  $x[n]$  的拉普拉斯变换和 Z 变换分别为

$$X(s) = \frac{1}{s+a} + \frac{1}{s-a} = \frac{2s}{s^2 - a^2}, \quad \operatorname{Re}\{-a\} < \operatorname{Re}\{s\} < \operatorname{Re}\{a\}$$

和

$$X(z) = \frac{1}{1-az^{-1}} + \frac{a^{-1}z^{-1}}{1-a^{-1}z^{-1}} = \frac{1-z^{-2}}{(1-az^{-1})(1-a^{-1}z^{-1})}, \quad |a| < |z| < \frac{1}{|a|}$$

$X(s)$  的两个一阶极点  $p_{1,2} = \pm a$  及两个一阶零点  $z_1 = 0$  和  $z_2 \rightarrow \infty$  与收敛域都呈现中心对称关系；而  $F(z)$  的两个一阶极点  $p_1 = a$  和  $p_2 = a^{-1}$  及两个一阶零点  $z_{1,2} = \pm 1$  与其收敛域都关于单位圆呈现共轭镜像对称关系。

## 8.4.5 对称性质(续)

拉普拉斯变换和 Z 变换的对称性质，导致了时域与复频域的对称分布特性之间有一系列必然关系。

### ■ 时域和复频域的对称分布特性之间的关系

#### ● 复奇、偶函数和序列的复频域奇、偶对称特性

若  $f(t)$  和  $f[n]$  是复偶函数和序列，或复奇函数和序列，即

$$f(t) = \pm f(-t) \quad \text{和} \quad f[n] = \pm f[-n]$$

其中，“+”和“-”分别对应时域偶对称和奇对称的情况。

则它们的像函数  $\{F(s), R_F\}$  和  $\{F(z), R_F\}$  分别满足

$$F(s) = \pm F(-s), \quad R_F = -R_F = (-\sigma_0 < \operatorname{Re}\{s\} < \sigma_0), \quad \sigma_0 > 0$$

和  $F(z) = \pm F(1/z), \quad R_F = 1/R_F = (r_0 < |z| < 1/r_0), \quad 0 < r_0 < 1$

**表明：**复偶或复奇函数和序列的像函数在复频域呈现如下对称特性：

- ♣ 像函数的零、极点在 S 平面上必定是中心对称分布，即  $F(s)$  在  $z_i$  和  $p_i$  与  $-z_i$  和  $-p_i$  分别是成对的同阶零点与同阶极点；而 Z 平面上则是关于单位圆的共轭镜像对称分布，即  $F(z)$  在  $z_i$  和  $p_i$  与  $1/z_i$  和  $1/p_i$  分别是成对同阶零点与同阶极点。



## 8.4.5 对称性质(续)

♣ 像函数的收敛域必定是 S 平面上关于虚轴对称的有限或无限带域，和 Z 平面上关于单位圆反比对称的有限或无限圆环。

### ● 实的与纯虚函数和序列的复频域共轭对称特性

若  $f(t)$  和  $f[n]$  是实函数和实序列，或纯虚函数和序列，即

$$f(t) = \pm f^*(t) \quad \text{和} \quad f[n] = \pm f^*[n]$$

“+” 和 “-” 分别对应实函数 (或序列) 和纯虚函数 (或序列) 的情况。则它们的像函数  $\{F(s), R_F\}$  和  $\{F(z), R_F\}$  分别满足

$$F(s) = \pm F^*(s^*) \quad \text{和} \quad F(z) = \pm F^*(z^*)$$

**表明:** ♣ 实的或纯虚函数和序列的像函数的零、极点，无论在 S 平面和 Z 平面都呈现共轭对称分布，即  $F(s)$  和  $F(z)$  在  $z_i$  和  $p_i$  与  $z_i^*$  和  $p_i^*$  分别是同阶零点与同阶极点。

♣ 所有可能的像函数收敛域都呈现共轭对称分布。

♣ 前面所有实函数和实序列的变换例题都印证这一特性。

**强调:** 由于实际信号和系统的时域表征都是实函数和实序列，了解和掌握这个对称特性就显得特别有用。

## 8.4.5 对称性质(续)

### ● 实偶及实奇函数和序列的复频域双重对称特性

**实偶**函数和序列及**实奇**函数和序列，既是实函数和实序列，时域上又呈现偶及奇对称，因此，它们的双边拉普拉斯变换和双边Z变换像函数的零、极点分布及其收敛域分别在S平面和Z平面上呈现**各自的****双重对称分布特性**。具体表现为：

- ♣ 像函数的收敛域必定是S平面上关于**虚轴对称**的有限或无限**带域**，和Z平面上关于**单位圆反比对称**的有限或无限**圆环**。
- ♣  $F(s)$  的零、极点既按实轴、又按虚轴呈现镜像对称分布，即在  $p_i$ 、 $p_i^*$ 、 $-p_i$  和  $-p_i^*$  **四地**出现同阶极点，在  $z_i$ 、 $z_i^*$ 、 $-z_i$  和  $-z_i^*$  **四地**出现同阶零点；由于**实轴**和**虚轴**上的零、极点的镜像就是它本身，故只能是**成对**的同阶零、极点。
- ♣  $F(z)$  的零、极点既按实轴、又按虚轴呈现镜像对称分布，即在  $p_i$ 、 $p_i^*$ 、 $1/p_i$  和  $1/p_i^*$  **四地**出现同阶极点，在  $z_i$ 、 $z_i^*$ 、 $1/z_i$  和  $1/z_i^*$  **四地**出现同阶零点；因**实轴**和**单位圆**上的零、极点的镜像就是它本身，故只能是**成对**的同阶零、极点。

## 8.4.6 尺度变换性质

与傅里叶变换的尺度变换性质揭示时域和频域的尺度反比关系类似，拉普拉斯变换和 Z 变换的尺度变换性质将揭示**时域**与**复频域**的之间的尺度反比关系。

### ■ 连续时域 $t$ 和 $s$ 域的尺度反比性质

拉普拉斯变换的尺度反比性质数学描述如下：

如果  $\mathbf{L} \{f(t)\} = \{F(s), R_F = (\sigma_1 < \operatorname{Re}\{s\} < \sigma_2)\}$ , 则有

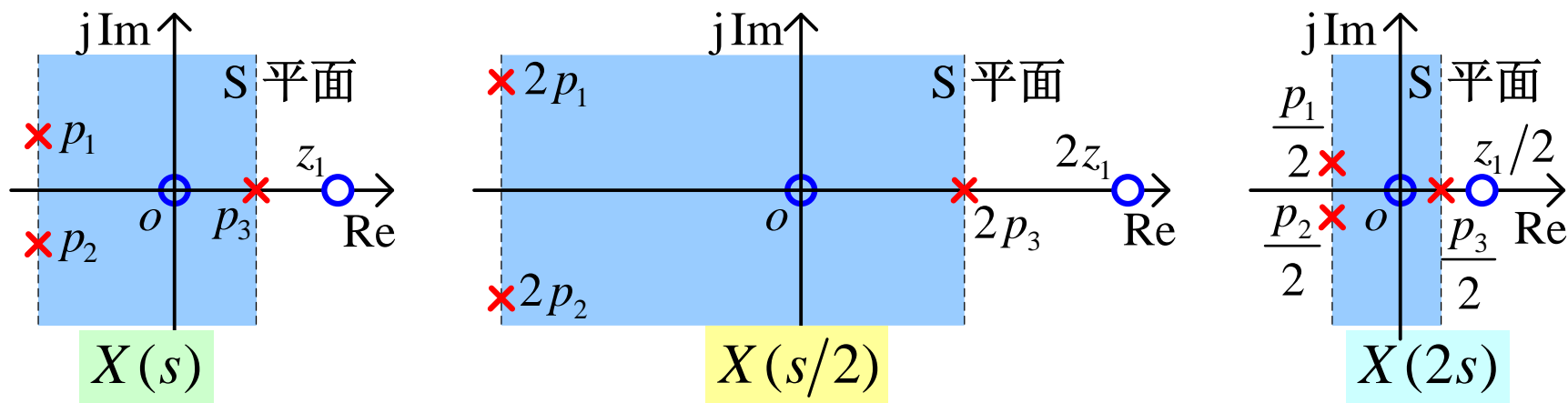
$$f(at) \xleftrightarrow{\mathbf{L}} \begin{cases} \frac{1}{|a|} F\left(\frac{s}{a}\right), & aR_F = \begin{cases} a\sigma_1 < \operatorname{Re}\{s\} < a\sigma_2, & a > 0 \\ a\sigma_2 < \operatorname{Re}\{s\} < a\sigma_1, & a < 0 \end{cases} \end{cases}$$

**表明：** 除了一个幅度因子  $1/|a|$  外，时域  $t$  与其复频域有如下的尺度反比变换关系：

- ♣ 当  $a > 0$  时， $f(t)$  时域压缩  $a$  倍 ( $a > 1$ )，导致其像函数的零、极点分布和收敛域在  $S$  平面上反比地扩展  $a$  倍；若  $f(t)$  时域扩展  $a$  倍 ( $0 < a < 1$ )，则导致在  $S$  平面上反比地压缩  $a$  倍。
- ♣ 当  $a < 0$  时， $f(at) = f(-|a|t)$ ，则既体现上述反比尺度变换，又体现拉普拉斯变换的时域反转性质。

## 8.4.6 尺度变换性质(续)

$a=2$  和  $a=1/2$  时  $s$  域尺度反比变换的示意图如下:



### ■ 离散时间内插零和抽取的 $z$ 域尺度变换

第2章 2.4.2 小节已说明, 离散时间内插零和抽取体现有离散时域的比例扩展和压缩。下面分别讲述它们导致的  $z$  域尺度变换。

#### ● $M$ 倍内插零的复频域尺度变换特性

若  $\mathbf{Z} \{x[n]\} = \{X(z), R_X = (r_1 < |z| < r_2)\}$ , 则有

$$x_{(M)}[n] = \begin{cases} x[n/M], & n = lM \\ 0, & n \neq lM \end{cases} \xleftrightarrow{\mathbf{Z}} \{X(z^M), R_X^{1/M} = (r_1^{1/M} < |z| < r_2^{1/M})\}$$

为理解内插零导致的  $z$  域尺度变换特性, 下面考察一个例子。

## 8.4.6 尺度变换性质(续)

离散时间序列  $x[n] = (0.5)^n u[n] + 2^{n+1} u[-n-1]$  的  $Z$  变换为

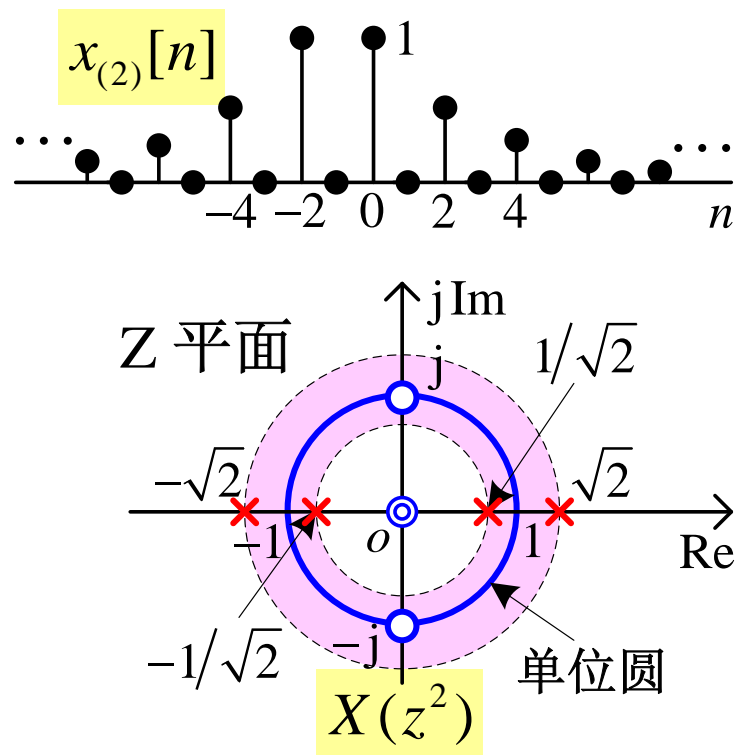
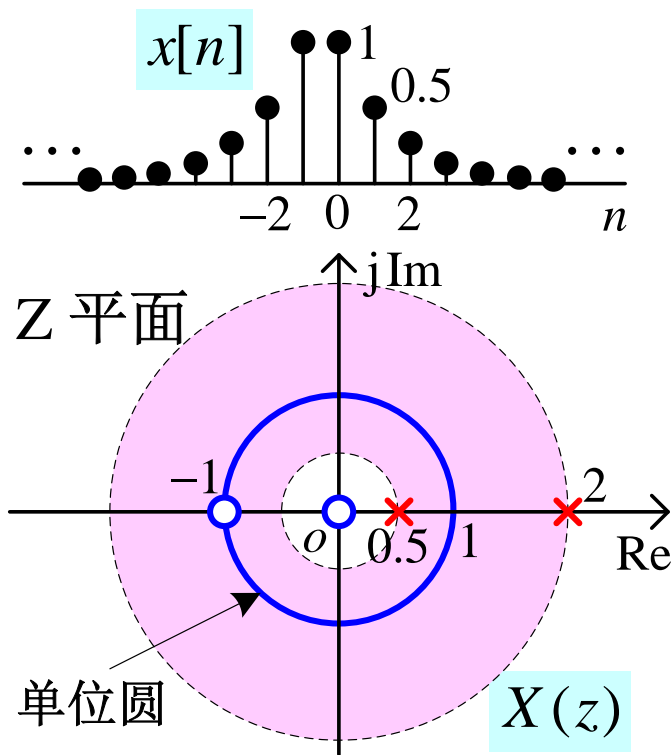
$$X(z) = \frac{-1 - z^{-1}}{(1 - 0.5z^{-1})(1 - 2z^{-1})}, \quad \frac{1}{2} < |z| < 2$$

按照上述  $z$  域尺度变换, 它的 2 倍内插零序列  $x_{(2)}[n]$  的  $Z$  变换为

$$X(z^2) = \frac{-(1 - jz^{-1})(1 + jz^{-1})}{(1 - z^{-1}/\sqrt{2})(1 + z^{-1}/\sqrt{2})(1 - \sqrt{2}z^{-1})(1 + \sqrt{2}z^{-1})}, \quad \frac{1}{\sqrt{2}} < |z| < \sqrt{2}$$

它们的序列图和像函数零、极点及其收敛域图形见右图。

图中可以看到收敛域和零、极点在  $Z$  平面



## 8.4.6 尺度变换性质(续)

上变化的情况:

- ♣ 收敛域由原来的  $0.5 < |z| < 2$  径向收缩成  $1/\sqrt{2} < |z| < \sqrt{2}$  ;
- ♣ 原有一阶零点  $-1$  变成两个一阶零点  $\pm j$  , 原点的一阶零点变成二阶零点; 原来  $0.5$  和  $2$  的一阶极点分别变成  $\pm 1/\sqrt{2}$  和  $\pm\sqrt{2}$  各两个一阶极点。

**表明:**  $M$  倍内插零使序列包络减慢  $M$  倍, 导致  $z$  平面上像函数及其收敛域既关于单位圆以  $1/M$  次方的比率径向收缩, 又在幅角维上以  $\Omega=0$  为基准收缩  $M$  倍。单位圆上收缩  $M$  倍就表现为 DTFT 的频域上压缩  $M$  倍的性质。

**讨论:**  $z$  域的这种二维收缩导致零、极点位置和数目都有改变, 具体地说: 如果  $z = |z_i|e^{j\theta_i}$  和  $z = |p_i|e^{j\phi_i}$  分别是  $X(z)$  的零点和极点, 则导致  $X(z^M)$  就分别有如下  $M$  个同阶零点和同阶极点:

$$z = |z_i|^{1/M} e^{j(\theta_i + 2\pi k/M)} \quad \text{和} \quad z = |p_i|^{1/M} e^{j(\phi_i + 2\pi k/M)}$$

其中,  $k = 0, 1, \dots, M-1$ 。

## 8.4.6 尺度变换性质(续)

### ● $M$ 倍抽取的复频域特性

若  $\mathbf{Z}$   $\{x[n]\} = \{X(z), R_X = (r_1 < |z| < r_2)\}$ , 则其  $M$  倍抽取序列的  $\mathbf{Z}$  变换为

$$\mathbf{Z} \{x[Mn]\} = \left\{ X_D(z) = \frac{1}{M} \sum_{k=0}^{M-1} X\left(e^{-j\frac{2\pi k}{M}} z^{\frac{1}{M}}\right), R_x^M = (r_1^M < |z| < r_2^M) \right\}$$

**证明:** 6.8.2 小节已说明,  $x[n]$  的  $M$  倍抽取可以看成先对  $x[n]$   $M$  倍抽样得到  $x_P[n]$ , 再  $M$  倍抽取成  $x_D[n]$ , 即  $x_D[n] = x_P[Mn]$ 。

故有

$$X_D(z) = \mathbf{Z} \{x_D[n]\} = \sum_{n=-\infty}^{\infty} x_P[Mn] z^{-n}$$

$$\stackrel{k=Mn}{=} \sum_{k=-\infty}^{\infty} x_P[k] z^{-k/M} = X_P(z^{1/M}), \quad r_1^M < |z| < r_2^M$$

再利用恒等式  $\sum_{k=0}^{M-1} e^{jk\frac{2\pi}{M}n} = \begin{cases} M, & n = lM \\ 0, & n \neq lM \end{cases}$ , 把  $x_P[n]$  改写为

$$x_P[n] = \frac{1}{M} \sum_{k=0}^{M-1} x[n] e^{jk\frac{2\pi}{M}n}, \quad -\infty < n < \infty$$



## 8.4.6 尺度变换性质(续)

并利用  $Z$  变换的复正弦加权性质可以得到

$$X_P(z) = \frac{1}{M} \sum_{k=0}^{M-1} X\left(e^{-jk\frac{2\pi}{M}} z\right), \quad \text{ROC} = R_X$$

代入  $X_D(z)$  与  $X_P(z)$  的关系式, 可证明  $M$  倍抽取的复频域特性。

**表明:** ♣  $M$  倍抽取序列  $x[Mn]$  的  $Z$  变换由如下  $M$  个分量组成:

$$\left\{ X_k(z) = \frac{1}{M} X\left(e^{-jk\frac{2\pi}{M}} z^{\frac{1}{M}}\right), \quad r_1^M < |z| < r_2^M \right\}, \quad k = 0, 1, \dots, M-1$$

每一个  $X_k(z)$  除了  $1/M$  的幅度因子外, 都是由  $X(z)$  经历如下两次  $z$  域变换得到:

- (1) 零、极点分布和收敛域按  $z^{1/M}$  的变换, 在极坐标的两维上扩展, 这种扩展恰与  $M$  倍内插零的  $z$  域压缩相反;
- (2) 按照  $e^{-j2\pi k/M}$  的复频移因子, 使零、极点分布和收敛域顺时针旋转  $2\pi k/M$  弧度。

这说明:  $M$  倍抽取不仅使得收敛域关于单位圆以  $M$  次方的比率径向扩展, 也导致零、极点的位置和数目发生不可逆的改变。

## 8.4.6 尺度变换性质(续)

- ♣ 如果收敛域  $R_x$  包含单位圆,  $M$  倍抽取的复频域尺度变换特性在单位圆上体现为 DTFT 的  $M$  倍抽取的频域特性。
- 拉普拉斯变换和 Z 变换之尺度变换特性的比较和讨论
- ♣ 拉普拉斯变换的尺度变换性质是  $t$  域与  $s$  域之间单纯的尺度反比特性, 它不导致像函数零、极点分布结构的改变, 在时域和复频域都表现为可逆的尺度变换。
- ♣  $M$  倍内插零和  $M$  倍抽取的  $z$  域尺度变换特性却不同:
  - ★  $M$  倍内插零和  $M$  倍抽取分别导致像函数收敛域关于单位圆以  $1/M$  次方和  $M$  次方比率的径向收缩和扩展。
  - ★  $M$  倍内插零和  $M$  倍抽取都导致像函数零、极点分布结构的改变, 从复频域解释了  $x_{(M)}[n]$  和  $x[Mn]$  所包含的信息已与  $x[n]$  不同。  $M$  倍内插零的改变还是可逆的变换,  $M$  倍抽取的改变却是不可逆的。这也从复频域上表明:  $M$  倍内插零系统可逆, 可由  $M$  倍抽取系统恢复原来序列; 但  $M$  倍抽取系统一般说来是不可逆系统。

## 8.4.7 因果函数和序列的初值和终值定理

拉普拉斯变换及 Z 变换的初值定理和终值定理是指：因果时间函数及序列的初值 ( $t=0$  与  $n=0$  的值) 和终值 ( $t \rightarrow \infty$  与  $n \rightarrow \infty$  的值)，可由其拉普拉斯变换及 Z 变换像函数确定的两个性质。

### ■ 初值定理

如果  $f(t)=0, t < 0$ ，且  $f(t)$  在  $t=0$  处没有冲激及其导数，以及  $f[n]=0, n < 0$ ，并假设

$$\mathbf{L} \quad \{f(t)\} = \{F(s), R_F\} \quad \text{和} \quad \mathbf{Z} \quad \{f[n]\} = \{F(z), R_F\}$$

则有  $\lim_{t \rightarrow 0^+} f(t) = \lim_{s \rightarrow \infty} sF(s)$  和  $f[0] = \lim_{z \rightarrow \infty} F(z)$

**表明：**因果时间函数和序列的初值分别等于  $sF(s)$  在  $s \rightarrow \infty$  时的极限和  $F(z)$  在  $z \rightarrow \infty$  时的极限。

进一步，因果函数的初值定理还包括其有限阶导数的初值：若  $\lim_{t \rightarrow 0^+} f^{(k)}(t) = 0, k < m$  则有  $\lim_{t \rightarrow 0^+} f^{(m)}(t) = \lim_{s \rightarrow \infty} s^{m+1} F(s)$

**表明：**只要因果时间函数  $f(t)$  的低于  $m$  阶导数在  $t=0$  处连续，其  $m$  阶导数的初值等于  $s^{m+1} F(s)$  在  $s \rightarrow \infty$  时的极限。

## 8.4.7 因果函数和序列的初值和终值定理(续)

拉普拉斯变换的初值定理可以由拉普拉斯变换的微分性质来证明，Z变换的初值定理可以由Z变换的定义直接证明。

### ■ 终值定理

如果  $f(t)=0, t<0$ ，且  $f(t)$  在  $t=0$  没有冲激及其导数，以及  $f[n]=0, n<0$ ，并且  $\lim_{t \rightarrow \infty} f(t)$  和  $\lim_{n \rightarrow \infty} f[n]$  存在，并为有限值；假设：

$$\text{L} \quad \{f(t)\} = \{F(s), R_F\} \quad \text{和} \quad \text{Z} \quad \{f[n]\} = \{F(z), R_F\}$$

则有  $\lim_{t \rightarrow \infty} f(t) = \lim_{s \rightarrow 0} sF(s)$  和  $\lim_{n \rightarrow \infty} f[n] = \lim_{z \rightarrow 1} (z-1)F(z)$

**表明：**因果时间函数和序列的终值分别等于  $sF(s)$  在  $s \rightarrow 0$  时的极限和  $(z-1)F(z)$  在  $z \rightarrow 1$  时的极限。

**讨论：**极限  $\lim_{t \rightarrow \infty} f(t)$  和  $\lim_{n \rightarrow \infty} f[n]$  是否存在，可由其像函数的收敛域和零、极点分布来判断：如果像函数收敛域分别包含虚轴和单位圆，或者分别以虚轴和单位圆为边界，但虚轴和单位圆上仅有  $s=0$  和  $z=1$  的一阶极点，则极限一定存在，并为有限；否则，极限就不存在（如因果的单边正弦或复正弦函数和序列），或者极限为无限值。

## 8.4.7 因果函数和序列的初值和终值定理(续)

拉普拉斯变换的**终值定理**也可以由变换的微分性质来证明，  
 $\mathbf{Z}$ 变换的**终值定理**证明如下：

根据时移性质， $(z-1)F(z)$  是  $f[n+1]-f[n]$  的  $\mathbf{Z}$  变换，即

$$(z-1)F(z) = \sum_{n=-1}^{\infty} (f[n+1]-f[n])z^{-n} = f[0]z + \sum_{n=0}^{\infty} (f[n+1]-f[n])z^{-n}$$

则有

$$\begin{aligned}\lim_{z \rightarrow 1} (z-1)F(z) &= \lim_{z \rightarrow 1} \left\{ f[0]z + \sum_{n=0}^{\infty} (f[n+1]-f[n])z^{-n} \right\} \\ &= f[0] + \sum_{n=0}^{\infty} (-f[n] + f[n+1]) = \lim_{n \rightarrow \infty} f[n]\end{aligned}$$

**应用：**拉普拉斯变换或  $\mathbf{Z}$  变换的**初值定理**和**终值定理**表明：  
如果只知道因果时间函数或序列的像函数及其收敛域，  
无需通过反变换求得该时间函数或序列，直接由像函数  
就可计算或判断该因果时间函数或序列的初值和终值。  
因此，**初值定理**和**终值定理**在复杂系统的复频域分析和  
反馈系统的稳定性分析及判断中很有用。

# 作业

- 6.1 7) 8) 9) 10) 11) (只需求拉普拉斯变换和Z变换)
- 6.3 3) 10) 14) 16)
- 6.7 5) 8) 9) 10) (其中10)的ROC改为 $\text{Re}\{s\} > 0$ )
- 6.39 2) 4) 6) 8)